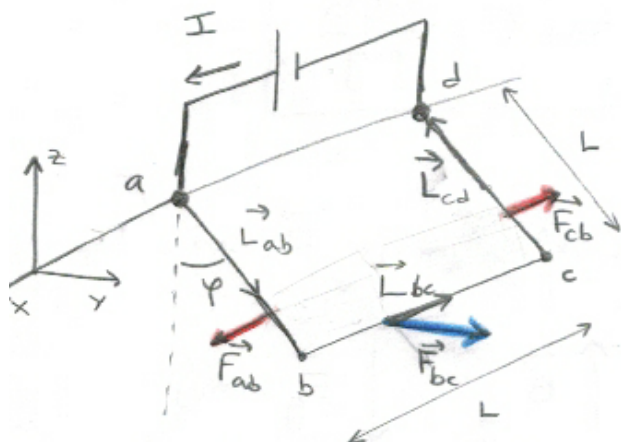


Soluciones a los problemas del tema 5

Elena del Valle Reboul
curso 2015 - 2016

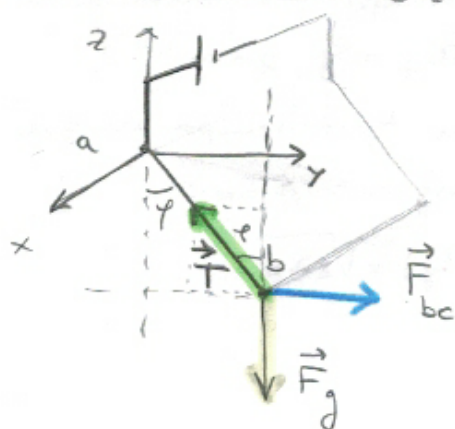
- 1** Encontramos todas las fuerzas que operan sobre la parte móvil del circuito:



- * \vec{F}_g fuerza de la gravedad
- * \vec{F}_m fuerza de Lorentz que produce el \vec{B} uniforme sobre los hilos con corriente
- * \vec{T} la tensión que soporta el circuito.

$$\text{con } \vec{B} = B \hat{k}$$

- $\vec{F}_g = mg(-\hat{k})$
- \vec{F}_m tiene 3 partes $\vec{F}_{ab} = -\vec{F}_{cd}$ por simetría (regla mano derecha!)
- $(\vec{F}_{Lor} = I \vec{L} \times \vec{B})$ ↳ se anulan \Rightarrow podemos olvidarnos de ellas
- $\vec{F}_{bc} = I \frac{\vec{L}_{bc}}{L} \times \vec{B} = I L B \hat{j}$
- \vec{T} (tensión) recorre los lados a b y cd a partes iguales: $\frac{\vec{T}}{2} = \vec{T}_{ab} = \vec{T}_{cd}$, en dirección de cada lado
- Visto lateralmente: hay equilibrio de todas las componentes



$$\sum_i \vec{F} = 0 \quad \begin{cases} \sum \vec{F}_x = 0 \\ \sum \vec{F}_y = 0 \\ \sum \vec{F}_z = 0 \end{cases}$$

$$\begin{cases} T_y = T \cos \varphi \\ T_z = T \sin \varphi \end{cases} \quad \begin{cases} \text{componentes} \\ \text{de } \vec{T} \end{cases}$$

- Aplicamos la condición de equilibrio a todos los componentes:

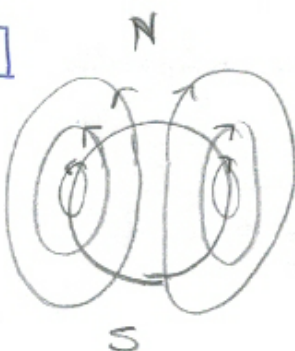
$$\text{eje } z : T \sin \varphi = F_{bc} = ILB$$

$$\text{eje } y : T \cos \varphi = F_g = mg$$

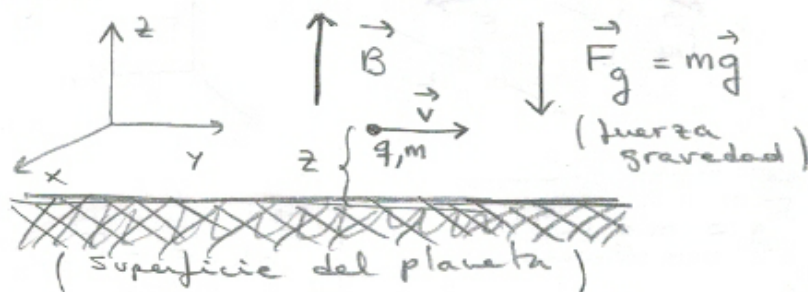
- Despejamos T en ambas ecuaciones para obtener una condición de equilibrio:

$$T = \frac{ILB}{\sin \varphi} = \frac{mg}{\cos \varphi} \Rightarrow \tan \varphi = \frac{ILB}{mg}$$

[2]



En el polo norte el campo \vec{B} es vertical:



- La gravedad acelera la masa hacia abajo $\vec{F}_g = mg(-\hat{k})$

- El campo \vec{B} uniforme crea una fuerza de Lorentz

$$\vec{F}_L = q \vec{v} \times \vec{B} = q v B \hat{i} \quad (\text{en dirección } x, \text{ saliendo del papel})$$

$\vec{B} = B \hat{k}$ y $\vec{v} = v \hat{j}$

Para comprender el movimiento tenemos que analizarlo por componentes:

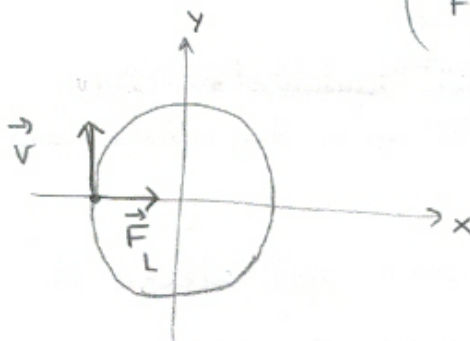
[eje z] → partiendo de una velocidad nula ($v_z = 0$), sufre una aceleración g hacia abajo → movimiento uniformemente acelerado con $a_z = g$ y ...

→ velocidad final $v_z(t_f) = g t_f$ con t_f = tiempo en que toca el suelo, lo obtenemos del espacio recorrido:

$$\rightarrow z = \frac{1}{2} g t_f^2 \rightarrow t_f = \sqrt{\frac{2z}{g}} \Rightarrow v_z(t_f) = \sqrt{2zg}$$

Ejes x y → simultáneamente también experimenta una aceleración $a_x = qvB/m$ que irá cambiando de dirección.

$$\begin{array}{l} \text{(2º ley Newton)} \\ F_L = m a_x \end{array}$$

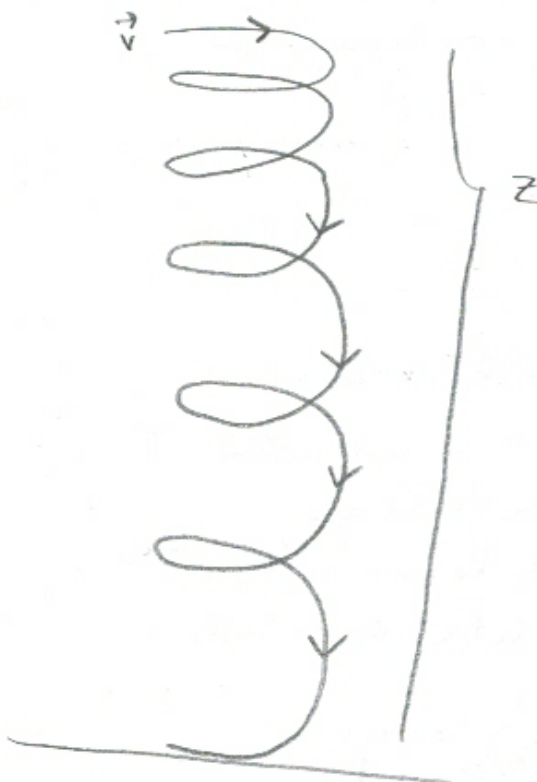


Recordamos de clase, apartado 5.3, que esto genera un movimiento circular uniforme donde la fuerza centrípeta es la F_L .

Tratará círculos en el plano xy con un radio de la órbita:

$$R = \frac{mv}{qB} \quad \text{y periodo: } T = \frac{2\pi R}{v} = \frac{2\pi m}{qB}$$

La combinación de los dos movimientos es una hélice de paso creciente debido a la aceleración vertical

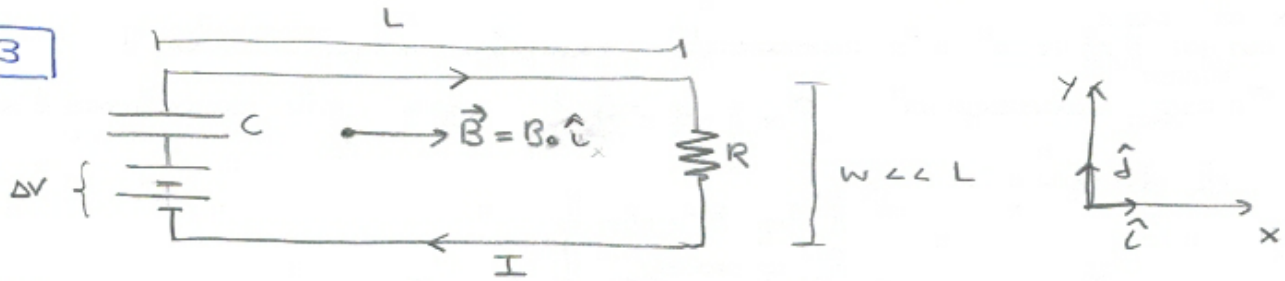


También podríamos calcular cuántas vueltas da antes de tocar el suelo:

$$\text{nº vueltas} = \frac{t_f}{T} = \sqrt{\frac{2g}{qB}} \frac{2\pi m}{2\pi m}$$

o los sucesivos pasos de la hélice, etc...

3



- El circuito se cierra en $t=0$ y comienza a cargarse el condensador, pasando una corriente que depende del tiempo $I(t)$.
- Primero, nos damos cuenta que la fuerza que ejerce el campo \vec{B} uniforme sobre el hilo inferior es cero:

$$\vec{F}_{\text{Lorentz}} = I(t) \vec{L} \times \vec{B} = 0 \quad \text{porque } \vec{L} \text{ y } \vec{B} \text{ son paralelos}$$

$\vec{L} \parallel \vec{B}$

(nos olvidaremos del campo \vec{B})

- La corriente $I(t)$ que comienza a circular por el circuito es la de la carga de un condensador que vimos en el tema 4, apartado 4.3:

$$I(t) = I_0 e^{-t/RC} = \frac{\Delta V}{R} e^{-t/RC}$$

$$I_0 = \frac{\Delta V}{R}$$

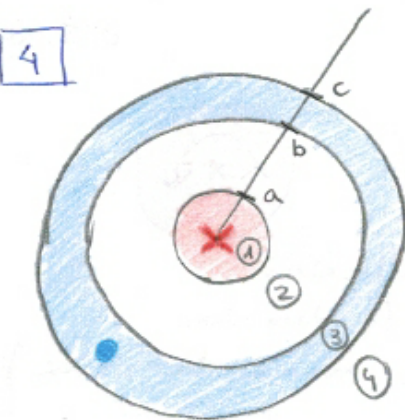
Esta corriente circulando por el hilo superior del circuito genera un campo magnético donde está el hilo inferior y produce sobre él una fuerza.

Esta es la fuerza de atracción (que hemos visto en el apartado 5.7 de este tema) entre dos hilos con corrientes en distintos sentidos:

$$\vec{F} = \frac{\mu_0}{2\pi} \frac{I^2(t)L}{w} \hat{j} = \frac{\mu_0 L}{2\pi w} \left(\frac{\Delta V}{R} e^{-t/RC} \right)^2$$

dirección
de atracción
hacia arriba

(hemos despreciado
el efecto de los hilos laterales
porque $w \ll L$)



I₁ = extra en el papel

I_2 = sale del papel

- Por simetría sabemos que el campo $\vec{B}(r)$ siempre será tangencial a las circunferencias de los cortes transversales a los hilos
 - Su dirección depende de la dirección neta de la corriente que encierra cada circunferencia.
 - Para calcular el módulo $B(r) = |\vec{B}(r)|$ y el sentido de circulación, aplicamos la ley de Ampère usando como camino cerrado de integración diferentes circunferencias de radio r :

$$\oint \vec{B} \cdot d\vec{l} = B(r) \int dl = B(r) 2\pi r = \mu_0 \sum I;$$

↓
simetria

↓
Ampère

$$B(r) = \frac{\mu_0}{2\pi r} \sum_i I_i \rightarrow \text{Sólo tenemos que evaluar}$$

$$\sum_i I_i = \text{la corriente total}$$

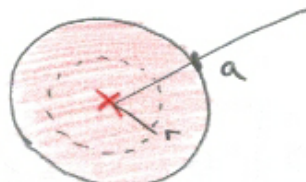
encerrada por la circunferencia, en cada zona.

$$\textcircled{1} \quad r < a$$

De la corriente total I , solo una fracción está encerrada dentro de la circunferencia de radio r_{Ca} :

$$\frac{I_1}{\pi a^2} \cdot \underbrace{\pi r^2}_{\substack{\text{área de la sección del hilo} \\ \text{encerrada}}} = \text{fracción de corriente}$$

densidad de corriente por unidad
 de área de la sección del hilo



$$\boxed{B_{(1)}(r) = \frac{\mu_0}{2\pi r} \cdot \frac{I_1}{\pi a^2} \pi r^2 = \frac{\mu_0 I_1 r}{2\pi a^2}}$$



con circulación
hacia la derecha
(regla de la mano derecha)

$$\boxed{(2) a < r < b}$$

Ahora el canino cerrado encierra todo el hilo interior

$$\Rightarrow \boxed{B_{(2)}(r) = \frac{\mu_0}{2\pi r} I_1}$$

con circulación también
a la derecha

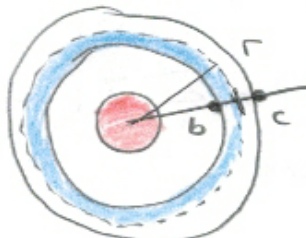


$$\boxed{(3) b < r < c} \text{ encierra } I_1 \text{ al completo y parte de } I_2$$

área total de la
sección del hilo
exterior

$$= \pi (c^2 - b^2)$$

porque
no es una
circunferencia
sino un anillo



área de la
sección del
hilo exterior
encerrada dentro
de la circunferencia
de radio r

$$= \pi (r^2 - b^2)$$

corriente total
del hilo exterior
encerrada en
la circunferencia
de radio r

$$= \frac{I_2}{\pi(c^2 - b^2)} \cdot \underbrace{\pi(r^2 - b^2)}_{\text{área}}$$

densidad
de carga del
hilo 2
por unidad de área

$$\Rightarrow \boxed{B(r) = \frac{\mu_0}{2\pi r} \left[I_1 + I_2 \frac{r^2 - b^2}{c^2 - b^2} \right]}$$

signos opuestos por tener corrientes opuestas

Puede que el campo se haga 0: en $r = r_0$

$$\textcircled{3} \quad B(r) = 0 \rightarrow I_1 = I_2 \frac{r_0^2 - b^2}{c^2 - b^2}$$

$$r_0 = \sqrt{\left(\frac{I_1}{I_2}\right)(c^2 - b^2) + b^2}$$

existe un radio r_0 para el que $B(r) = 0$ si

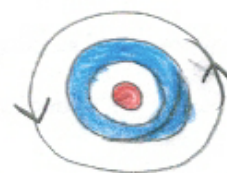
$$I_2 > I_1 \text{ ya que } \frac{r_0^2 - b^2}{c^2 - b^2} < 1.$$

$$\textcircled{4} \quad r > c$$

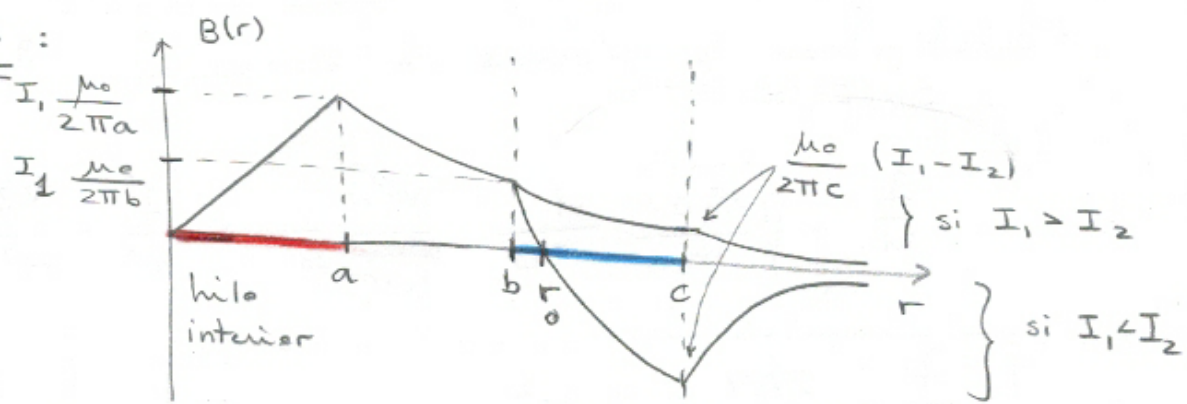
Aquí volvemos al caso sencillo donde suerramos las dos corrientes al completo:

$$\boxed{B_{\textcircled{4}}(r) = \frac{\mu_0}{2\pi r} (I_1 - I_2)}$$

- Si $I_2 > I_1$, el campo habrá cambiado su dirección de circulación
→ hacia la izquierda
- Si $I_2 < I_1$, el campo seguirá circulando hacia la derecha.

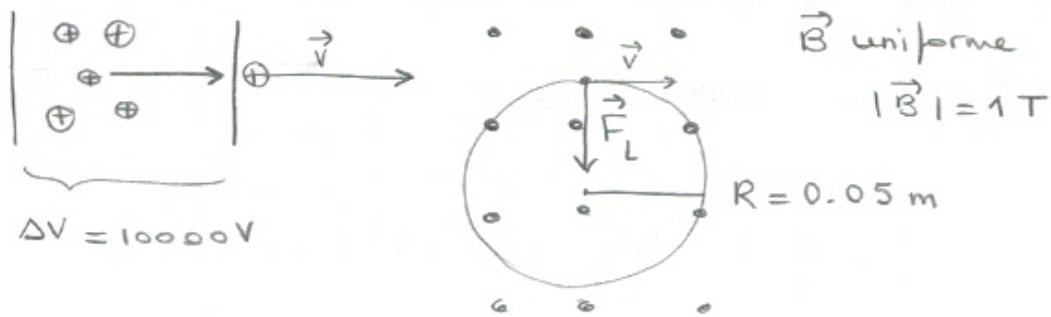


Lo pintamos:



Con las 2 posibilidades estudiadas
a partir de $r = b$

5



Los iones tendrán un movimiento circular al entrar en la zona con \vec{B} , llevando una \vec{v} inicial.

La fuerza de Lorentz que lo produce es

$$\vec{F}_L = q \vec{v} \times \vec{B} \xrightarrow{\text{Suponiendo } \vec{B} \perp \vec{v}} F_L = q v B = m a = m \frac{v^2}{R}$$

\downarrow
2^{da} ley Newton

$$q v B = m \frac{v^2}{R} \Rightarrow \boxed{\frac{q}{m} = \frac{v}{RB}}$$

- Solo necesitamos calcular la velocidad con la que los iones entran el campo magnético. La podemos obtener por conservación de energía: los iones se aceleran debido a la diferencia de potencial hasta una velocidad final (energía cinética) máxima:

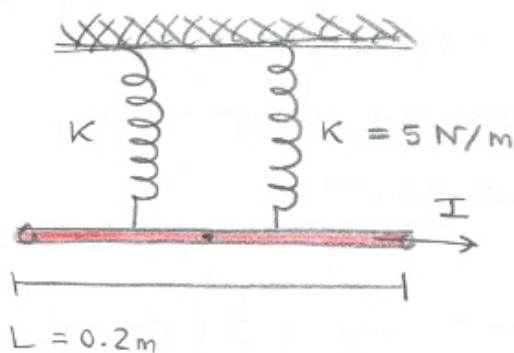
$$E_c^{\max} = \frac{1}{2} m v^2 = q \Delta V \rightarrow \boxed{v = \sqrt{\frac{2q \Delta V}{m}}}$$

- Substituimos y volvemos a despejar $\frac{q}{m}$:

$$\frac{q}{m} = \sqrt{\frac{2q \Delta V}{m}} \cdot \frac{1}{RB} \xrightarrow{\text{dividir al numerador}} \frac{q^2}{m^2} = \frac{2 \Delta V}{R^2 B^2} \frac{q}{m}$$

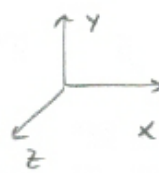
$$\boxed{\frac{q}{m} = \frac{2 \Delta V}{R^2 B^2} = \frac{2 \cdot 10^4}{0.05^2 \cdot 1^2} = 8 \cdot 10^6 \text{ C/kg}}$$

6



$$|\vec{B}| = 0.5 \text{ T} = \text{cte} = B$$

$$\begin{cases} \rho = 5.1 \text{ g/cm} = 0.51 \text{ kg/m} \\ m = \rho L = 0.102 \text{ kg} \end{cases}$$



- Sobre la varilla se ejercen 3 fuerzas
 - Para maximizar la \vec{F}_L con sentido hacia arriba (\hat{u}_y) necesitamos que \vec{B} tenga la dirección $-\hat{u}_z$ (hacia dentro del papel)
- $\Rightarrow \vec{B} = -B \hat{u}_z$
- $\Rightarrow \vec{F}_L = ILB \hat{u}_y$

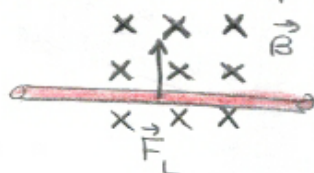
gravitatoria: $\vec{F}_g = mg (-\hat{u}_y)$

elástica:

$$\vec{F}_{el} = K_T \Delta l \hat{u}_y$$

Lorentz = magnética

$$\vec{F}_L = IL \hat{u}_x \times \vec{B}$$



- Cuando $I = 0$ solo están presentes la fuerza gravitatoria (el peso de la barra) y la elástica. En el punto de equilibrio estas fuerzas se anulan:

$$\sum_i \vec{F}_i = \vec{F}_g + \vec{F}_{el} = 0 \Rightarrow mg = K_T \Delta l$$

$$\Delta l = \frac{mg}{K_T} = \frac{0.102 \cdot 9.8}{5+5} = 0.1 \text{ m}$$

Importante!!: $K_T = K + K$, al tener 2 muelles paralelos la constante elástica total es el doble (la fuerza elástica que se ejerce es el doble)

$$I = 5A$$

- Cuando pasa corriente, hay que añadir la fuerza de Lorentz:

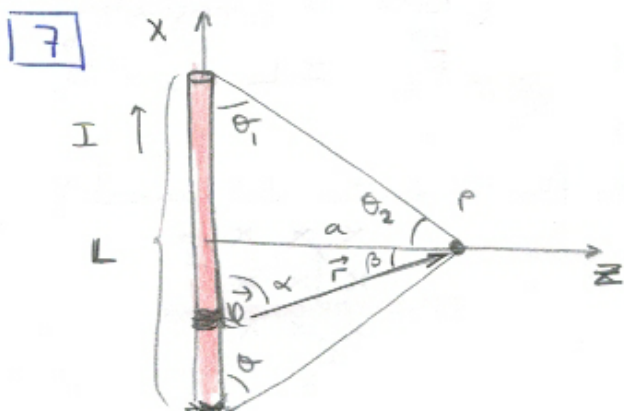
$$\sum_i \vec{F}_i = \vec{F}_g + \vec{F}_{el} + \vec{F}_L = -mg + K_T \Delta l + ILB = 0 \text{ (equilibrio)}$$

$$\Delta l = \frac{mg - ILB}{K+K} = 0.05 \text{ m}$$

- Para que el alargamiento sea $\Delta l = 0$, el peso y la fuerza de Lorentz se tienen que compensar talmente. Usando la fórmula anterior:

$$\Delta l = \frac{mg - ILB}{2K} = 0 \rightarrow mg = ILB$$

$$\Rightarrow I = \frac{mg}{LB} = \frac{0.102 \cdot 9.8}{0.2 \cdot 0.5} = 9.96 \text{ A}$$



Podemos usar los cálculos de clase para el campo creado por un hilo infinito, solo cambiando los límites de integración:

$$d\vec{B} = \frac{\mu_0}{4\pi} I \frac{dl \hat{x} \hat{r}}{r^2} \rightarrow \text{la dirección del campo es entrando al papel (x)}$$

$$d\vec{B} = \frac{\mu_0}{4\pi} I \frac{dx \sin \alpha}{r^2} \rightarrow \text{el módulo}$$

$$B = \int_{\text{hilo}} dB \quad \text{usando el ángulo } \beta \text{ para integrar}$$

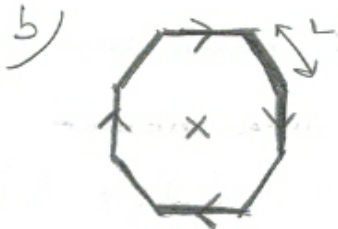
substituimos

$$\begin{cases} \sin \alpha = \cos \beta \\ \cos \beta = \frac{a}{r} \rightarrow r = \frac{a}{\cos \beta} \\ \tan \beta = \frac{x}{a} \rightarrow dx = a \frac{d\beta}{\cos^2 \beta} \end{cases}$$

$$B = \int_{-\theta_2}^{\theta_2} \frac{\mu_0}{4\pi} \frac{I}{a} \cos \beta d\beta = \frac{\mu_0 I}{4\pi a} \sin \theta_2 = \frac{\mu_0 L I / a}{4\pi \sqrt{a^2 + (\frac{L}{2})^2}}$$

Los límites
ya no son $\pm \frac{\pi}{2}$!!

$$\sin \theta_2 = \frac{a L / 2}{\sqrt{a^2 + (L/2)^2}}$$



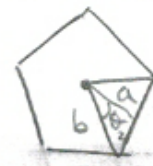
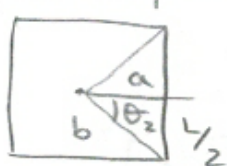
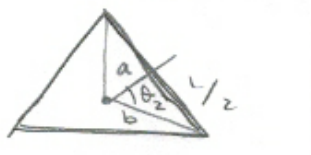
Tomenes por ejemplo un octágono ($N=8$). Todos los lados contribuyen por igual al campo total \vec{B}_N , que tiene dirección entrante en el papel (x).

Si módulo es la suma: $|\vec{B}_N| = \sum_{i=1}^N |\vec{B}_i| = \frac{\mu_0}{4\pi} N \frac{L I / a}{\sqrt{a^2 + (L/2)^2}}$

Vamos a expresar $|\vec{B}_N|$ en función de sus características principales:

- lado L
- n^o de lados N

Para ello vemos que el ángulo θ_2 se puede obtener:



etc...

a = apotema

b = radio

$$\theta_2 = \frac{\text{ángulo de una vuelta completa}}{2 \times n^o \text{ de lados}} = \frac{2\pi}{2N} = \frac{\pi}{N}$$

También:

$$\left\{ \begin{array}{l} \sin \theta_2 = \sin \frac{\pi}{N} = \frac{L/2}{b} \\ \cos \theta_2 = \cos \frac{\pi}{N} = \frac{a}{b} \end{array} \right\} \quad a = b \cos \frac{\pi}{2} = \frac{L/2}{\sin \frac{\pi}{N}} \cos \frac{\pi}{N}$$

Volviendo un paso atrás en la fórmula de B_T , podemos sustituir directamente

$$\frac{\sin \theta_2}{a} = \frac{\sin \frac{\pi}{N}}{\frac{L/2}{\cos \frac{\pi}{N}}}$$

$$\Rightarrow |\vec{B}_N| = \frac{\mu_0}{4\pi} N A I \frac{\sin^2 \frac{\pi}{N}}{\frac{L}{2} \cos^2 \frac{\pi}{N}}$$

✓ Primero expresamos L en función del perímetro total del polígeno y su n° de lados, para poder tomar el límite $N \rightarrow \infty$ (y ver cómo L tiende a 0):

$$L = P/N$$

También podemos expandir el $\sin \frac{\pi}{N}$ y $\cos \frac{\pi}{N}$ en series de Taylor y quedarnos a primer orden ya que $\frac{\pi}{N}$ tiende a ser muy pequeño cuando N es muy grande:

$$\begin{cases} \sin \alpha \approx \alpha \\ \cos \alpha \approx 1 \end{cases} \quad \text{cuando } \alpha \text{ es muy pequeño}$$

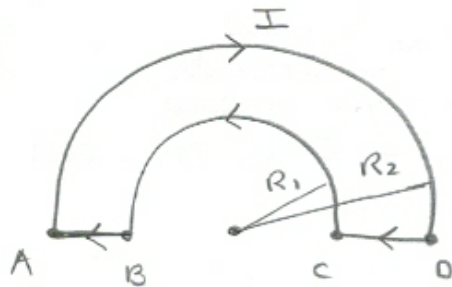
$$\lim_{N \rightarrow \infty} |\vec{B}_N| = \lim_{N \rightarrow \infty} \frac{m_0}{4\pi} N^4 I \frac{\left(\frac{\pi}{N}\right)^2}{\frac{P}{N} \times 1} = \frac{m_0}{4\pi} \frac{4I\pi^2}{P}$$

El perímetro, cuando $N \rightarrow \infty$, tiende a ser el de una circunferencia $P = 2\pi R$:

$$\boxed{\lim_{N \rightarrow \infty} |\vec{B}_N| = \frac{m_0}{4\pi} \frac{2I\pi}{R} = B_{\text{espiral circular de radio } R}}$$

c.q.d.

8



Para calcular el campo sumamos las contribuciones de cada tramo:

$$\vec{B} = \vec{B}_{AD} + \vec{B}_{DC} + \vec{B}_{CB} + \vec{B}_{BA}$$

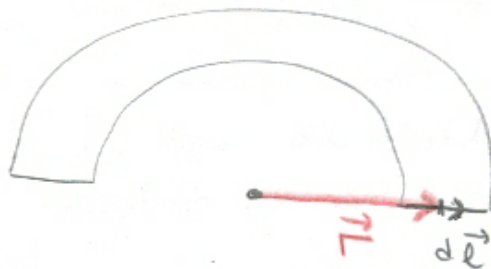
usando
Biot-Savart

$$\vec{B} = \int \frac{\mu_0}{4\pi} I \frac{d\vec{dx}}{r^3}$$

- Notamos que

en los tramos de la base (BA y DC) los vectores $d\vec{l}$ y \vec{r} tienen la misma dirección $\Rightarrow d\vec{l} \times \vec{r} = 0$

$$\Rightarrow \vec{B}_{BA} = \vec{B}_{DC} = 0$$

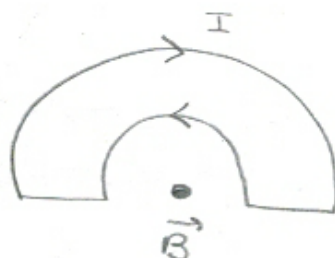


- Las circunferencias crean cada una un campo que es simplemente la mitad del de una espira circular del mismo radio ($B_{\text{espira}} = \frac{\mu_0}{4\pi} \frac{2\pi I}{R}$)

en dirección perpendicular al plano del circuito:

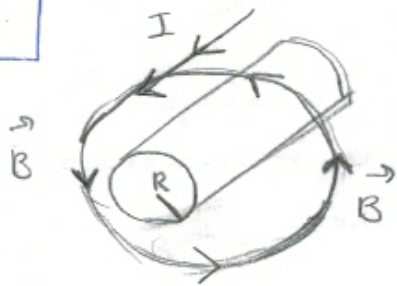
$$|\vec{B}| = |\vec{B}_{AD}| + |\vec{B}_{CB}| = \frac{\mu_0}{4\pi} 2\pi I \left(\frac{1}{R_2} - \frac{1}{R_1} \right)$$

como $R_2 > R_1 \Rightarrow \frac{1}{R_2} < \frac{1}{R_1} \Rightarrow$ el sentido del campo es el que marca la circunferencia interior



Sale del papel!

9



$$J = \alpha r = \frac{\text{densidad de corriente}}{\text{por unidad de área (sección)}}$$

- Por simetría vemos que el campo \vec{B} tiene la dirección que circula alrededor del hilo en el sentido hacia la izquierda (según el dibujo) \Rightarrow regla de la mano derecha
- Su módulo dependería solo de la distancia al centro, $|B| = B(r)$, ya que la densidad de carga tiene simetría cilíndrica: $J = J(r)$. Para calcularlo aplicamos la ley de Ampère en las dos zonas distintas del espacio:

I) $r < R$ dentro del hilo

$$\oint \vec{B} \cdot d\vec{l} = B(r) \oint dl = B(r) 2\pi r = \mu_0 \sum_i I_i;$$

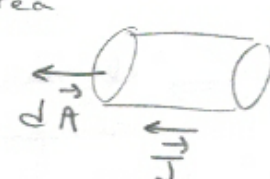
usamos circunferencias concéntricas al hilo para calcular la integral ($\vec{B} \parallel d\vec{l}$)

Ampère

la corriente que encierra se calcula integrandos:

$$I_{enc} = \int \vec{J} \cdot d\vec{A} = \int \vec{J} \cdot dA = \alpha \int_0^R r^2 2\pi r' dr'$$

lo que necesitamos para la integral



son paralelas

calculamos el dA derivando: $A = \pi r'^2$

$$dA = 2\pi r' dr'$$

$$I_{enc} = 2\pi \alpha \frac{r^3}{3}$$

$$\Rightarrow \boxed{\frac{B(r)}{I} = \mu_0 \frac{2\pi \alpha r^3}{3 \cdot 2\pi r} = \mu_0 \alpha \frac{r^2}{3}}$$

II) $|r > R|$ Todo igual salvo que la integral para calcular I_{enc} se hace entre 0 y R :

$$I_{\text{enc}} = \alpha \int_0^R r^{1/2} 2\pi dr^1 = 2\pi \alpha \frac{R^3}{3}$$

$$B_{\text{II}}(r) = \mu_0 \frac{2\pi \alpha R^3}{3 \cdot 2\pi r} = \mu_0 \frac{\alpha R^3}{3r} = \mu_0 \frac{I}{2\pi r}$$

también, si
sabemos que la
corriente total
es I

Dibujamos el campo:

